

# Calcolo dell'esponente di Lyapunov più grande da una serie temporale

Seminario del corso di Dinamica non lineare

Alessandro Batignani

21 novembre 2023

- Introduzione
- Algoritmo di Rosenstein et al.
- Applicazione al Sistema di Lorenz
- Conclusioni
- Bibliografia

## *Definizione:* **attrattore strano**

Sia  $A$  un attrattore, ovvero attracting set e topologicamente transitivo rispetto a  $\varphi$  ( $G$ ). Diciamo che  $A$  è un attrattore strano se è sensibile alle condizioni iniziali.

## *Domanda*

Perchè un attrattore caotico viene chiamato **strano**?

Gli attrattori caotici sono chiamati strani poichè spesso sono riconducibili a degli insiemi frattali.

- Gli **insiemi frattali** sono complesse forme geometriche con una struttura fine ad una scala arbitrariamente piccolo. Solitamente presentano un qualche grado di self-similarity;

## *Osservazione*

Per quantificare la dimensione di un insieme frattale non vengono usate le considerazioni fatte per gli insiemi più basilari:  
le curve hanno un grado di libertà  $\Rightarrow$  sono unidimensionali...

- Vengono utilizzate delle nozioni di dimensione più generali.

# Correlation dimension

Supponendo di avere un numero infinito di punti dello spazio delle fasi  $\{\vec{X}_i\}_{i=1}^{+\infty}$

*Definizione* **Correlation dimension**

Dato l'integrale di correlazione  $C(r) \equiv \lim_{N \rightarrow +\infty} \frac{1}{N^2} \sum_{i,j=1}^N \theta(r - |\vec{X}_i - \vec{X}_j|)$ ,  
nel limite  $r \rightarrow 0$  si assume che  $C(r) \propto r^v$ , dove  $v$  è chiamata correlation dimension.

Negli anni '90 l'algoritmo di Grassberger e Procaccia (GPA) per il calcolo di  $v$  era il metodo più popolare per quantificare il caos, in particolare veniva considerata una stima della complessità del sistema.

Tuttavia il GPA è *altamente sensibile* alle variazioni di diversi parametri come:

- Numero di punti
- *Dimensione di embedding*
- *Ritardo ricostruito o lag*
- Rapporto tra segnale e rumore

Rosenstein et al. suggeriscono che gli esponenti di Lyapunov possano fornire una caratterizzazione più utile del caos in un sistema caotico.

# Gli esponenti di Lyapunov

Considerando dei sistemi dinamici regolari e assumendo le ipotesi del Multiplicative Ergodic Theorem:

## *Definizione* **Esponente di Lyapunov**

Presi due punti nello spazio delle fasi separati da una distanza iniziale  $||\delta\vec{x}(0)||$  infinitesimale, allora il seguente limite esiste ed è finito e definisce l'esponente di Lyapunov nella direzione  $\delta\vec{x}(0)$  :

$$\lambda(\delta\vec{x}(0)) = \lim_{t \rightarrow +\infty} \lim_{\delta\vec{x}(0) \rightarrow 0} \frac{1}{t} \ln \frac{||\delta\vec{x}(t)||}{||\delta\vec{x}(0)||}$$

In generale se il sistema dinamico è definito su  $\mathbb{R}^n$  si avranno  $n$  esponenti di Lyapunov che compongono il cosiddetto spettro di Lyapunov  $\{\lambda_1, \dots, \lambda_n\}$ .

Inoltre tali quantità sono invarianti sotto una trasformazione liscia e non singolare dello spazio delle fasi.

# L'esponente di Lyapunov maggiore

## *Osservazione 1*

Per  $\|\delta\vec{x}(0)\|$  *sufficientemente piccola* e  $t$  *sufficientemente elevato* si avrà  $\delta x(t) \sim e^{\lambda t} / \delta\vec{x}(0)$  /, se  $\lambda > 0$  allora traiettorie inizialmente vicine tendono ad allontanarsi tra loro esponenzialmente;

## *Osservazione 2*

Per il Multiplicative Ergodic Theorem il limite della slide precedente, per un  $\delta\vec{x}(0)$  scelto randomicamente, fornisce l'esponente di Lyapunov maggiore ( $\lambda_1$ ) con probabilità 1 [1];

$\Rightarrow$  se l'esponente di Lyapunov maggiore è positivo si avrà sensibilità alle condizioni iniziali;



# Complicazioni nel contesto sperimentale

Esistono efficienti algoritmi che permettono di calcolare tutto lo spettro di Lyapunov a partire dalle equazioni che descrivono il sistema dinamico.

## *Problematiche*

- Nelle situazioni sperimentali le leggi della dinamica non sono note;
- non sappiamo quali e quante siano le variabili che governano la dinamica;
  - spesso i dati sperimentali consistono in una serie temporale di una singola osservabile.

# Metodo dei ritardi (pt. 1)

Il metodo dei ritardi è una procedura per la *ricostruzione* di un'orbita del sistema dinamico a partire da una serie temporale di  $N$  punti  $\{s_1, \dots, s_N\}$ .

Per il nostro fine è sufficiente costruire un'orbita che possa essere mappata in quella vera, con una trasformazione liscia e non singolare.

La traiettoria ricostruita  $\mathbf{X}$  può essere espressa con la seguente matrice

$$\mathbf{X} = (\mathbf{X}_1 \ \mathbf{X}_2 \ \dots \ \mathbf{X}_M)^T,$$

dove ogni riga  $\mathbf{X}_i$  rappresenta lo stato del sistema all' $i$ -esimo tempo di campionamento. Ogni  $\mathbf{X}_i$  è dato dall'espressione

$$\mathbf{X}_i = (s_i \ s_{i+J} \ \dots \ s_{i+(m-1)J}),$$

dove  $J$  è il lag (un numero naturale) e  $m$  è la dimensione di embedding.

Quindi la matrice  $\mathbf{X}$  ha dimensioni  $M \times m$ , e le costanti  $m$ ,  $M$ ,  $J$  e  $N$  sono legate dalla relazione

$$M = N - (m - 1)J.$$

# Metodo dei ritardi (pt. 2)

Il successo di tale procedura è supportato da una serie di teoremi (Takens, Saur,..) validi per serie temporali di lunghezza e precisione infinita:

se  $D$  la dimensione frattale dell'attrattore, allora una dimensione di embedding  $m > 2D$  è sufficiente per garantire un'*opportuna* orbita ricostruita (condizione di Takens [7]).

*Considerazioni:*

- Nella pratica è possibile *ricostruire l'attrattore* al di sotto della condizione di Takens.
- La scelta di  $J$  è una questione di natura sperimentale e influenza la ricostruzione dell'attrattore.

# Algoritmo di Rosenstein et al.

Consente di calcolare l'esponente di Lyapunov maggiore di un sistema dinamico a partire da una serie temporale  $s(t)$  utilizzando il metodo dei ritardi.

Vantaggi di tale algoritmo [1]:

- affidabile per brevi serie temporali (condizione di Eckmann-Ruelle [2]);
- *semplice* da implementare;
- computazionalmente *veloce*;
- *robusto* alle variazioni dei suoi parametri caratteristici (es.  $J$  e  $m$ ) ;

# Condizioni di Eckmann-Ruelle\*

Dato un generico punto  $P$  dello spazio ricostruito, si richiede che  $P$  abbia un numero considerevole di punti a *piccola* distanza da esso. In formule:

$$\Gamma(r) \gg 1, \quad \rho \equiv \frac{r}{d} \ll 1$$

dove  $\Gamma(r)$  è il numero di punti all'interno di una palla con raggio  $r$  e centrata in  $P$ , e  $d$  è il diametro dell'attrattore ricostruito. Considerando le condizioni su  $r$  e le assunzioni fatte in [5] possiamo scrivere  $\Gamma(r) \approx \text{const.} \times r^v$ ; supponendo che  $\Gamma(d) \approx N$ , si arriva all'espressione

$$\Gamma(r) \approx N \left( \frac{r}{d} \right)^v$$

Mettendo assieme il precedente risultato con le richieste iniziali si ha:

$$\log N \gg v \log \left( \frac{1}{\rho} \right)$$

Ad esempio supponendo  $\rho = 0.1$  si ottiene  $N \gg 10^v$ .

# Scelta dei parametri $m$ e $J$

- I teoremi di embedding non possono essere usati per la scelta di  $m$   
 $\Rightarrow$  è necessario ripetere il metodo dei ritardi per differenti valori di  $m$ .
- La scelta del lag è una questione delicata e influenza la traiettoria ricostruita:
  - se  $J$  è *troppo piccolo*  $\Rightarrow$  i punti ricostruiti si dispongono lungo la bisettrice dello spazio di embedding;
  - se  $J$  è *troppo grande*  $\Rightarrow$  l'orbita ricostruita si ripiega nello spazio di embedding; $\Rightarrow$  come compromesso viene scelto il valore di  $J$  per cui la funzione di autocorrelazione di  $s(t)$  decade a  $1 - \frac{1}{e}$ .

# Calcolo di $\lambda_1$ (pt. 1)

Non resta che calcolare l'esponente di Lyapunov maggiore per l'orbita ricostruita:

per ogni  $\mathbf{X}_j$  viene trovato il proprio primo vicino  $\mathbf{X}_k$  posto ad una distanza  $d_j(0) = \min_{k'} \|\mathbf{X}_{k'} - \mathbf{X}_j\|$ . Si richiede che il primo vicino soddisfi il seguente vincolo temporale:

$$|k - j|\Delta t \geq T ,$$

dove  $\Delta t$  è l'intervallo di tempo tra campionamenti consecutivi  $s(t)$  e  $T$  è il \*periodo medio dell'orbita.

Tale condizione consente di considerare  $\mathbf{X}_j, \mathbf{X}_k$  come condizioni iniziali vicine di traiettorie differenti, evitando di trovare un esponente di Lyapunov nullo [3].

*\*Nota*

Il periodo medio dell'orbita è stato stimato come il reciproco della frequenza media dello spettro in potenza di  $s(t)$ .

# Calcolo di $\lambda_1$ (pt. 2)

Per iterazioni sufficientemente lunghe si assume che  $d_j(i) \sim C_j e^{\lambda_1(i\Delta t)}$ , dove  $d_j(i)$  è la distanza tra  $\mathbf{X}_j$  e il suo primo vicino dopo un tempo  $i\Delta t$ .

Facendo il logaritmo naturale della precedente espressione e considerando ciascun  $j$ , si ottiene un set di  $M$  rette parallele con pendenza proporzionale a  $\lambda_1$ :

$$\ln d_j(i) \sim \ln C_j + \lambda_1(i\Delta t) \quad \forall j = 1, \dots, M;$$

Mediando le precedenti espressioni su  $j$  e poi eseguendo un fit lineare si ottiene il valore di  $\lambda_1$ .



# Applicazione al Sistema di Lorenz

Il sistema dinamico preso in considerazione è il **sistema di Lorenz**. Per i seguenti valori dei parametri è presente un attrattore caotico:

$$\dot{x} = \sigma(y - x)$$

$$\dot{y} = x(R - z) - y$$

$$\dot{z} = xy - bz$$

Valori dei parametri:

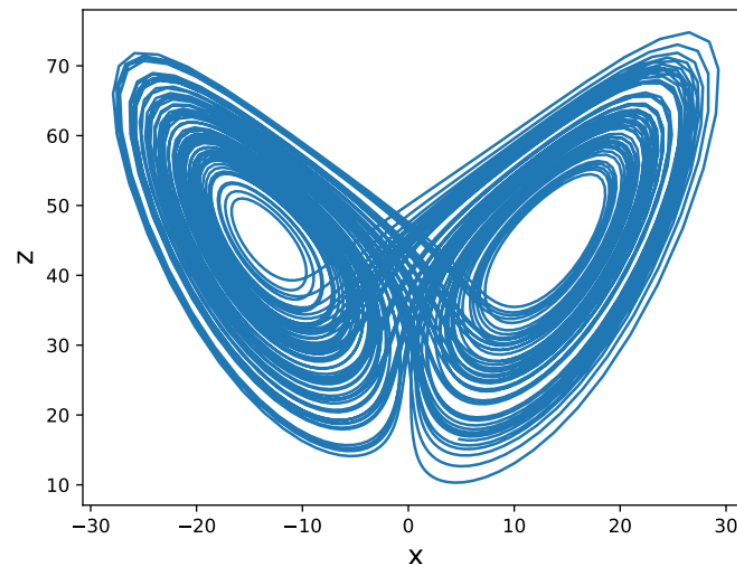
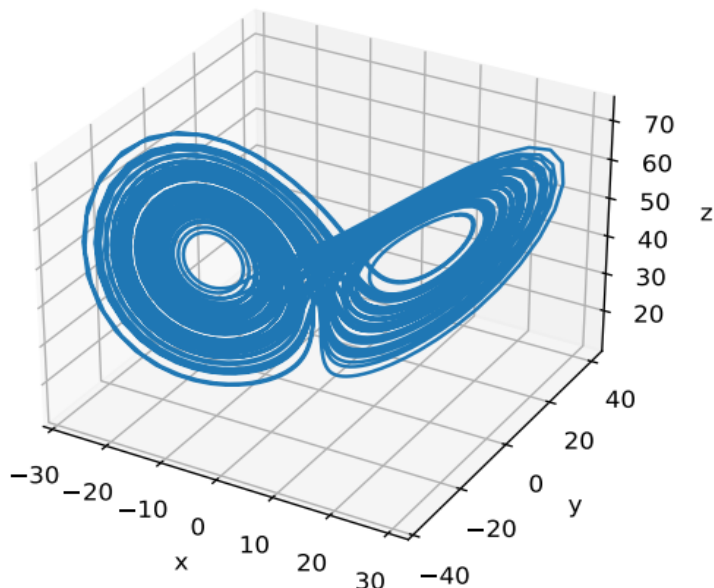
$$\sigma = 16.0$$

$$R = 45.92$$

$$b = 4.0$$

Esponente di Lyapunov  
maggiore *aspettato*:

$$\lambda_1 = 1.5$$



## *Metodologia*

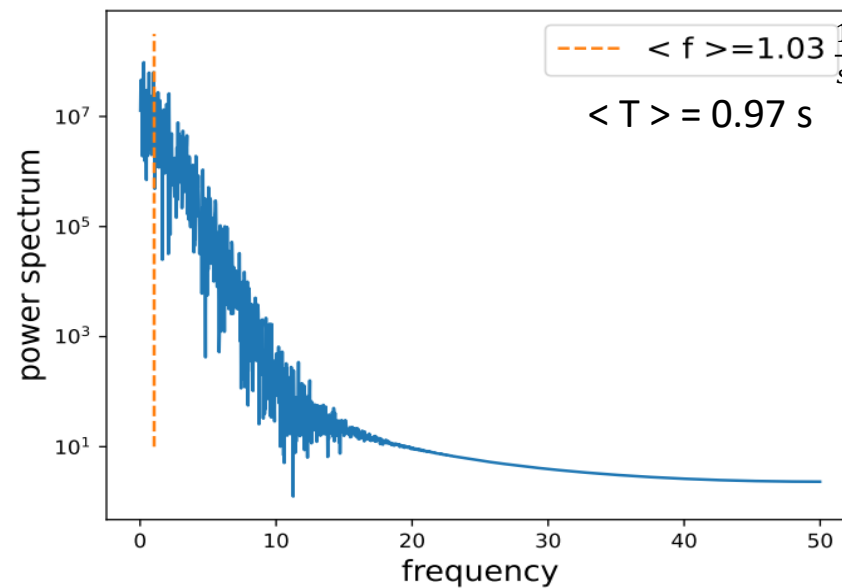
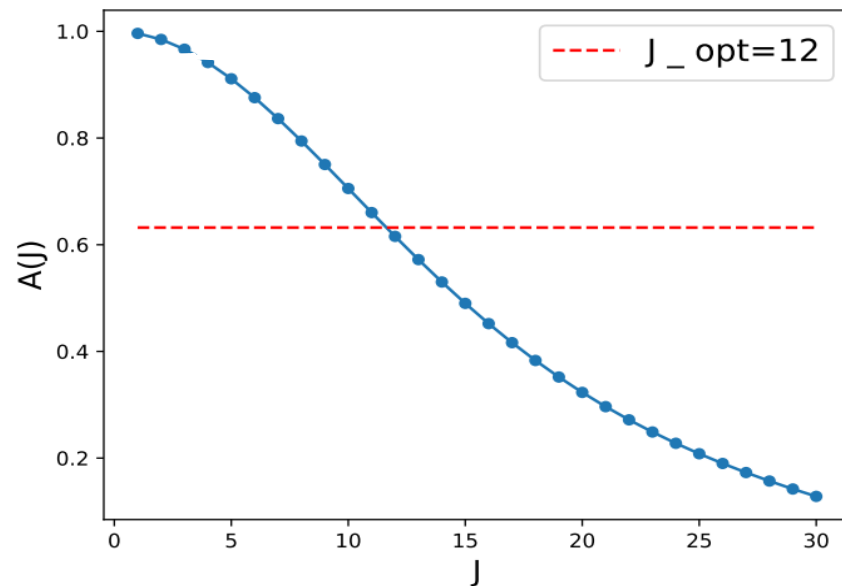
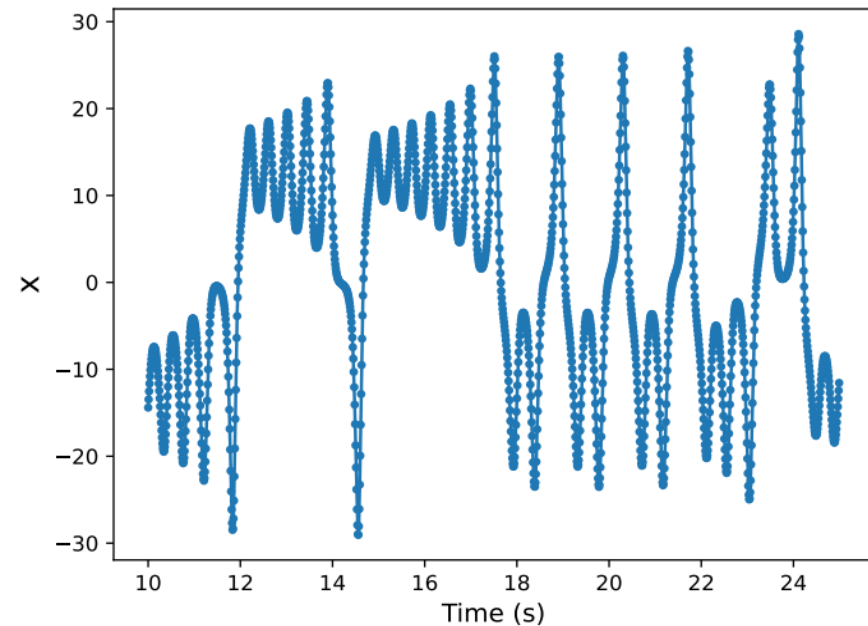
- Le simulazioni sono state effettuate utilizzando il linguaggio di programmazione Python (<https://github.com/alebati3/nonlinear-dynamics-seminar>);
- le equazioni differenziali sono state risolte numericamente utilizzando l'integrazione Runge-Kutta del 4° ordine con passo di integrazione  $\Delta t$  fisso ( $\Delta t = 0.01$  s);
  - la condizione iniziale è stata selezionata generando un punto casualmente con distribuzione uniforme nella regione  $[-30, 30] \times [-40, 40] \times [10, 70]$ , che comprende l'attrattore;
  - i punti che fanno parte del transiente sono stati esclusi dall'analisi;

## *Convenzione*

Ho scelto come serie temporale la coordinate  $x$  della traiettoria generata  $\{x_1, \dots, x_N\}$ .

# Serie temporale e grandezze associate

$N=5000$   
 $\Delta t = 0.01$  s

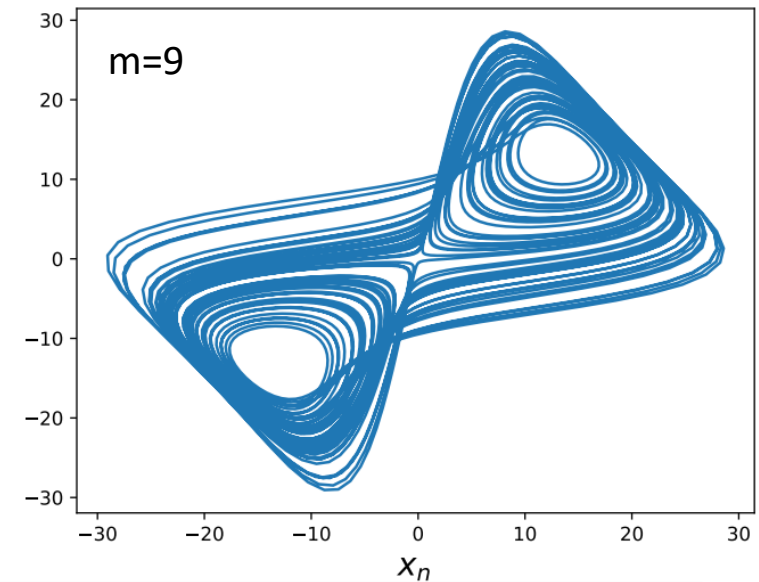
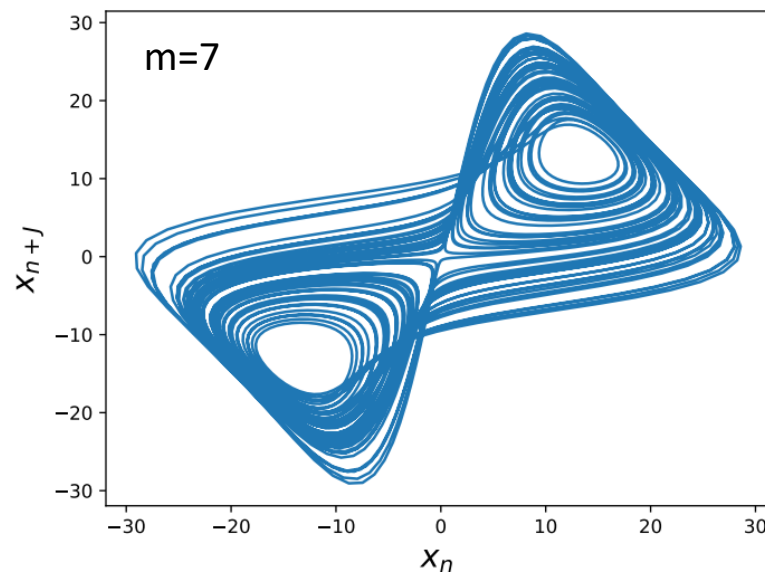
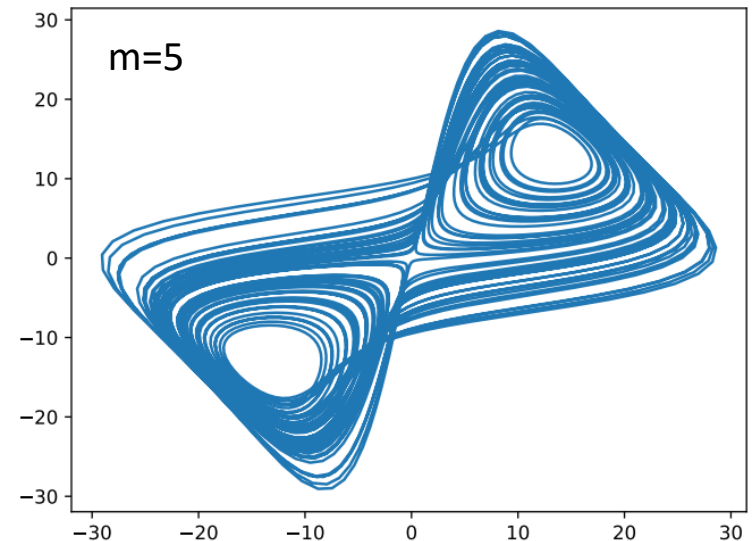
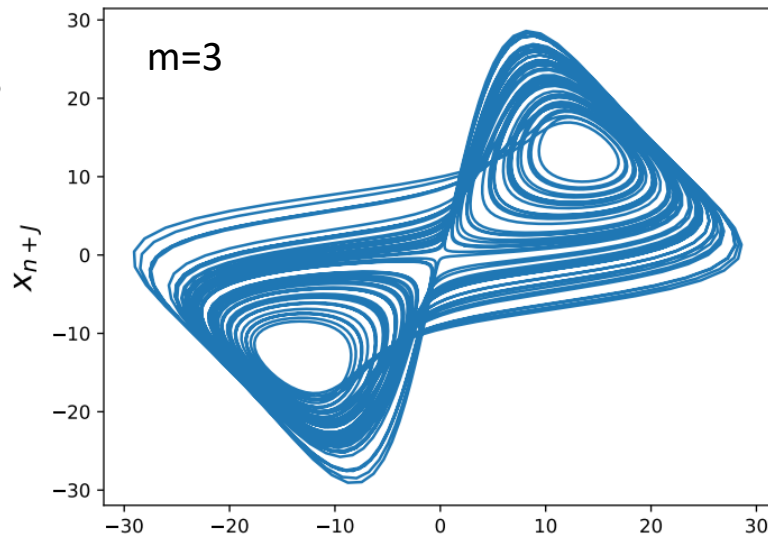


# Ricostruzione dell'attrattore al variare di $m$

$N=5000$

$\Delta t = 0.01 \text{ s}$

$J=11$

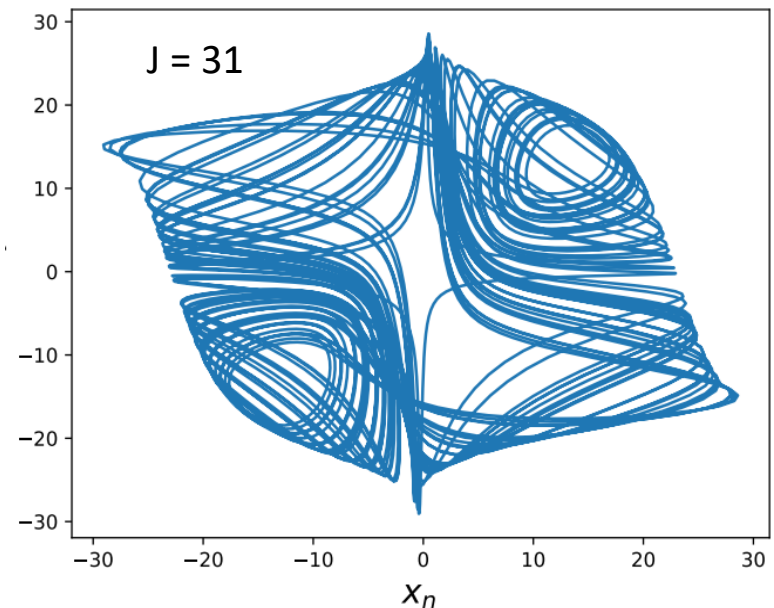
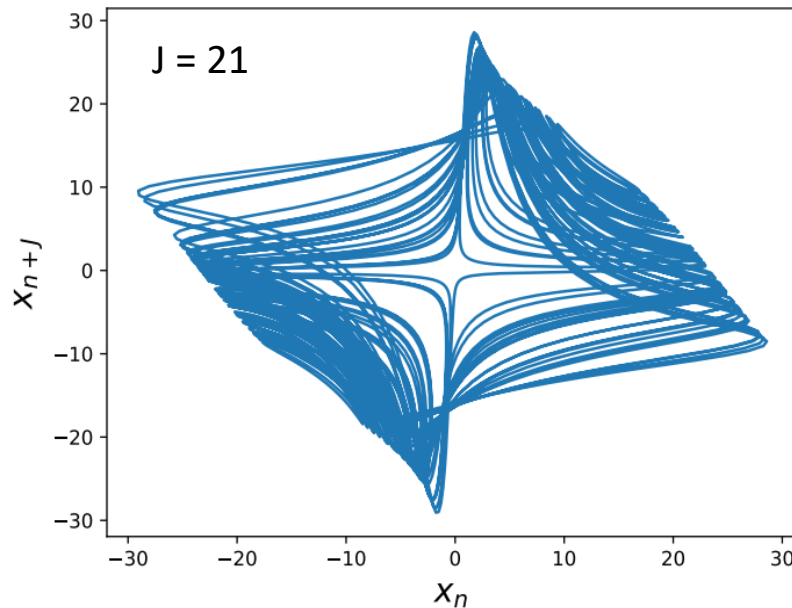
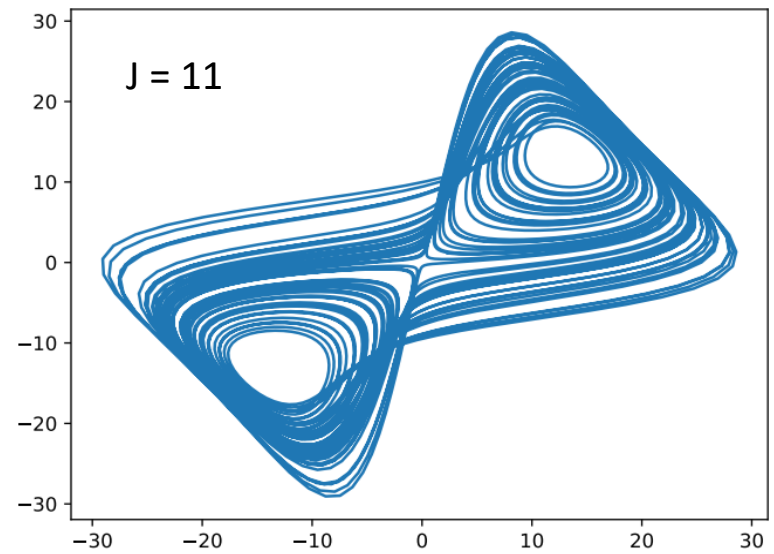
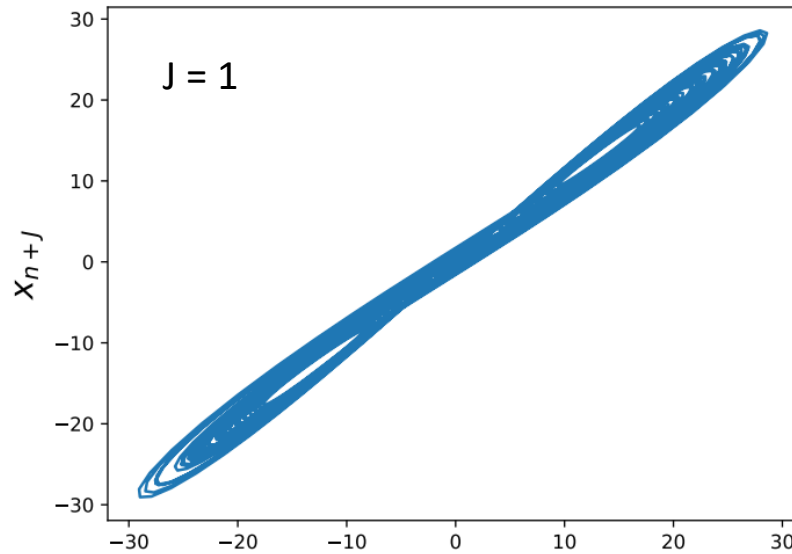


# Ricostruzione dell'attrattore al variare di J

$N=5000$

$\Delta t = 0.01 \text{ s}$

$m=3$



# Andamento delle distanze $d_j$ nel tempo

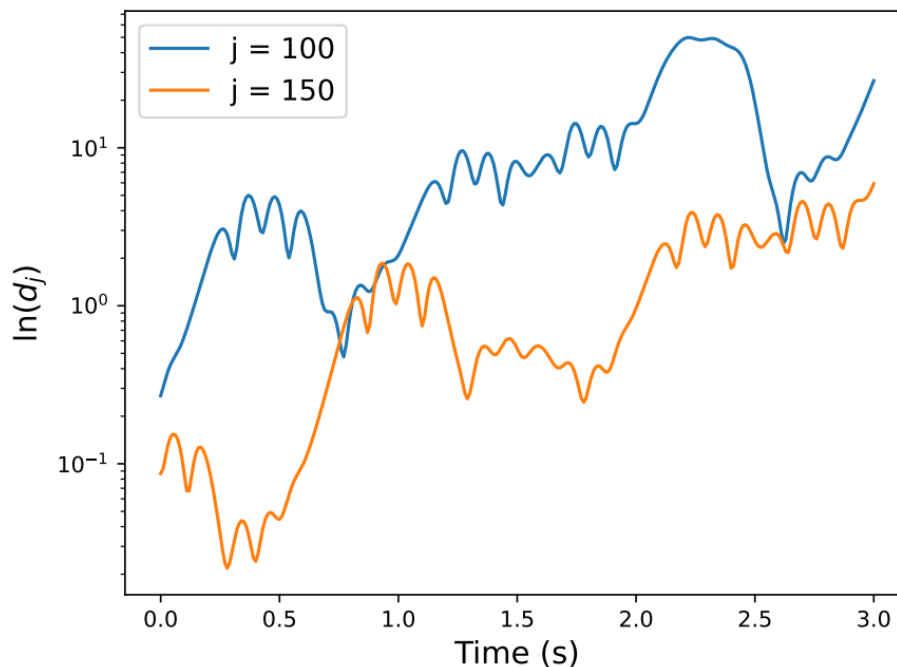
Facendo evolvere nel tempo  $X_j$  e il suo primo vicino, come varia nel tempo la distanza  $d_j$ ?

*Aspettativa :*

per tempi *sufficientemente grandi*  $d_j(i) \sim C_j e^{\lambda_1(i\Delta t)} \Rightarrow \ln d_j(i) \sim \ln C_j + \lambda_1(i\Delta t)$

*Simulazione:*

$N=5000$   
 $\Delta t = 0.01$  s  
 $m=3$   
 $J=11$



$d_j$  ha un andamento rumoroso e irregolare

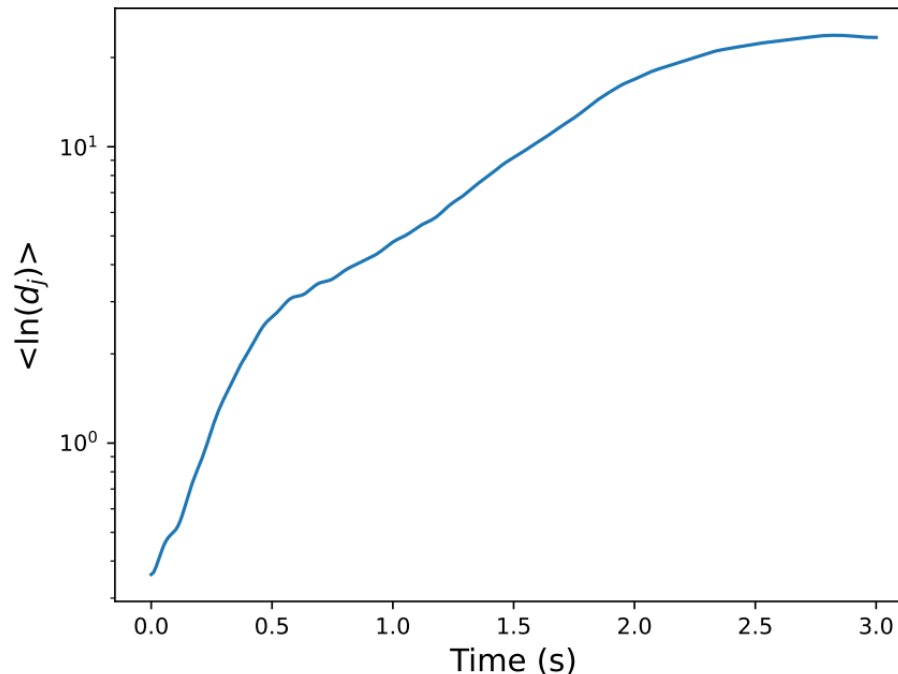
# Andamento di $\langle d_j \rangle$ nel tempo

Cosa succede facendo la media su *tutti* gli M punti?

*Aspettativa:*

per t sufficientemente grandi  $\langle \ln d_j(i) \rangle \sim C + \lambda_1(i\Delta t)$

*Simulazione:*



Osserviamo la presenza di 3 comportamenti differenti:

- un transiente
- una regione qualitativamente lineare
- una saturazione

# Precisazione sull'evoluzione temporale

Per osservare l'andamento di  $d_j$  per un tempo  $L = i \cdot \Delta t$  è necessario far evolvere  $X_j$  e il suo primo vicino per un tempo  $L$ .

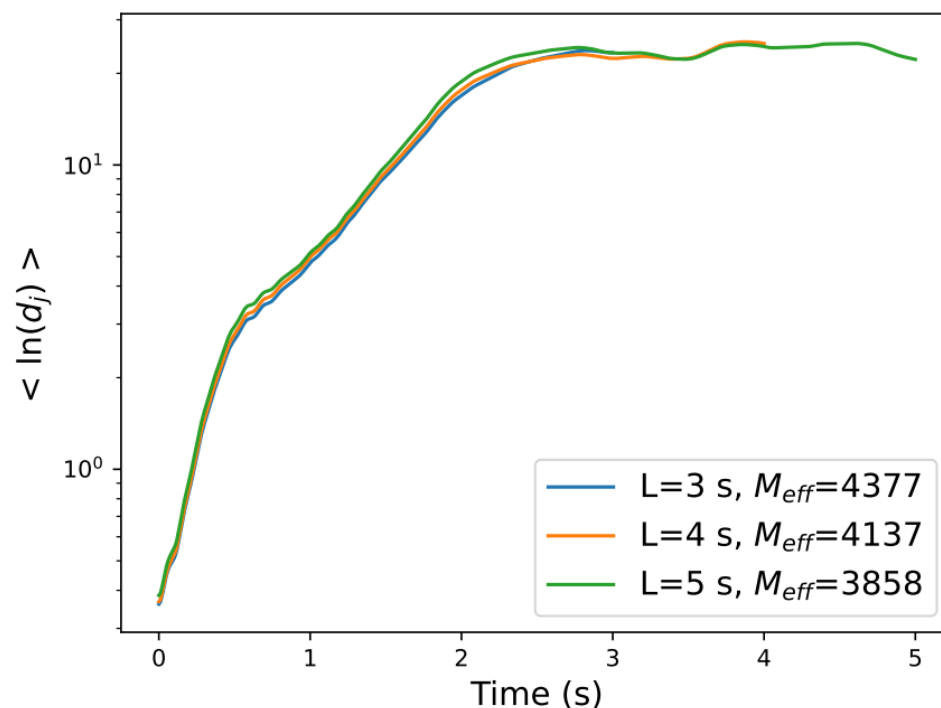
⇒ non possono prendere parte all'analisi i punti con indice  $> M - i$

⇒ le distenze  $d_j$  che possiamo studiare sono  $M_{eff} \leq M - i$

- Ho scelto  $L$  in modo da osservare l'inizio del plateau

## Osservazione

- scegliere  $L$  più lunghi non incrementa la regione di interesse e diminuisce il numero di distanze a disposizione.





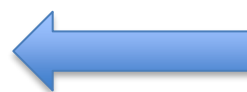
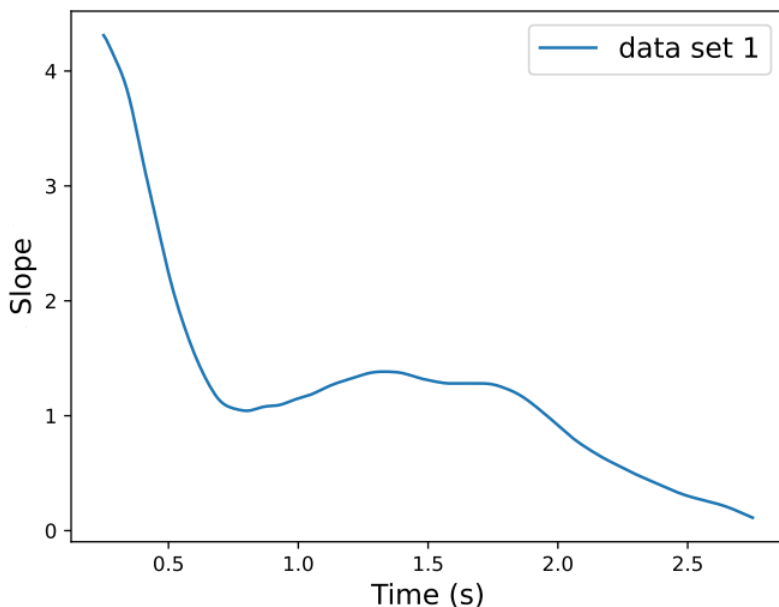
# Criticità dell'approccio attuale

- La stima di  $\lambda_1$  dipende dalla scelta dell'intervallo su cui eseguiamo il fit lineare.
- La procedura adottata non tiene minimamente conto della *variabilità dei dati*
  - se avessi preso un'orbita differente?
- Mancanza di un'incertezza associate alla stima di  $\lambda_1$ .

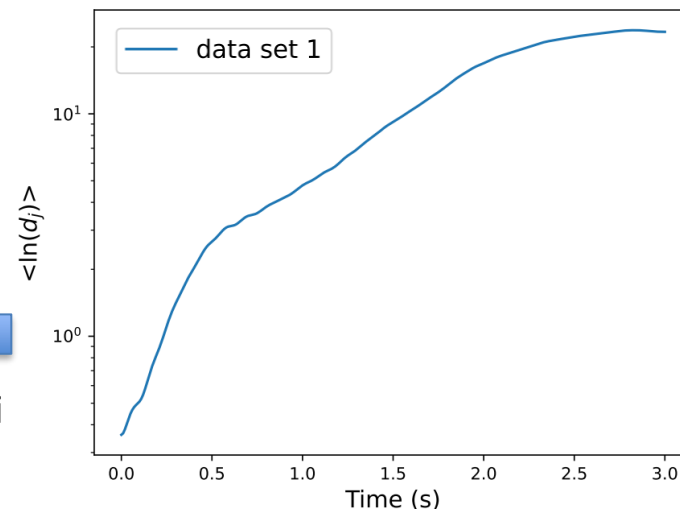
⇒ Vogliamo un approccio più consistente e che cerchi di limitare queste criticità.

# Approccio di Abraham et al. (pt. 1) [6]

- Generiamo una singola serie temporale da 15000 per poi partizionarla in 3 data set disgiunti;
- Con ciascuna delle 3 serie temporali ottenute troviamo il grafico  $\langle \ln(d_j(t)) \rangle$
- Vogliamo calcolare una *derivata* di  $\langle \ln(d_j(t)) \rangle$



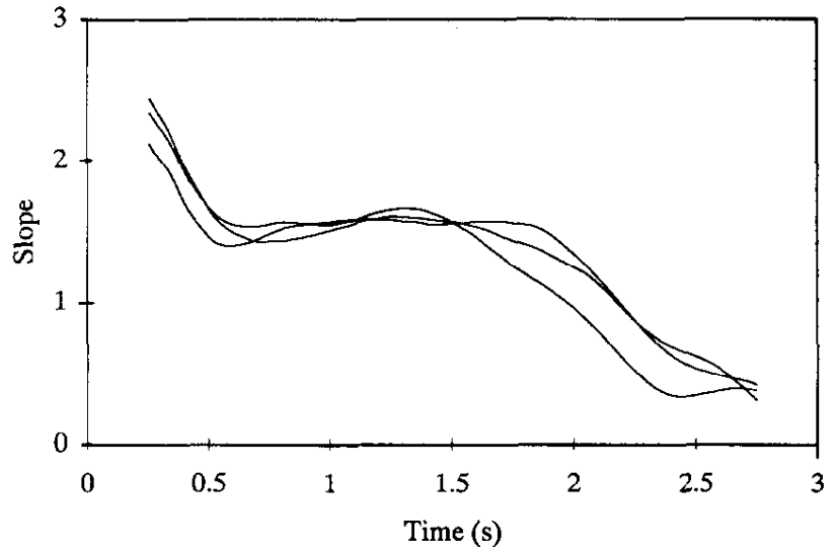
$\Delta p = 25$  punti



$\text{Slope}(i \cdot \Delta t) \equiv$  coefficiente angolare  
ottenuto dal fit lineare eseguito  
nell'intervallo  $[(i - \Delta p) \cdot \Delta t, (i + \Delta p) \cdot \Delta t]$

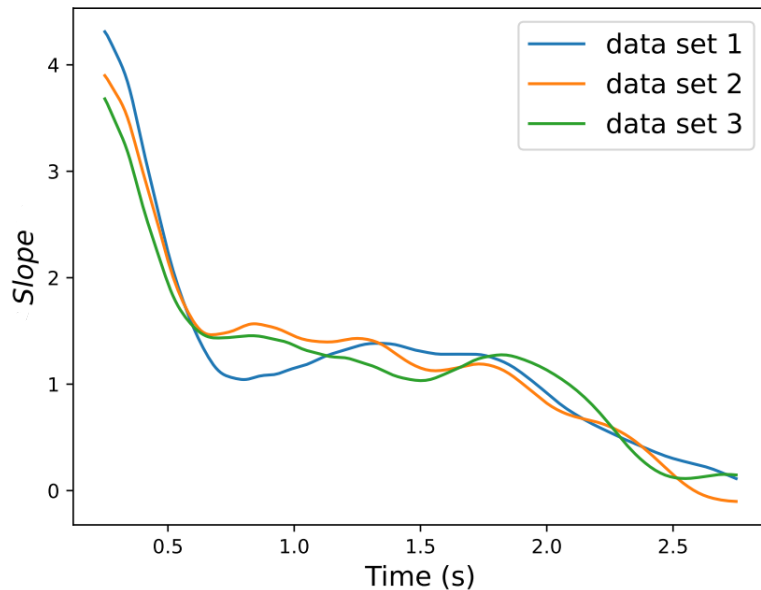
$2 \cdot \Delta p + 1$  è il numero di punti su cui viene  
eseguito il fit lineare.

# Approccio di Abraham et al. (pt. 2)



Nel range [0.6 s, 1.6 s] le 3 curve presentano un plateau chiaro

⇒ è consistente estrarre il valore di  $\lambda_1$  da questo intervallo!

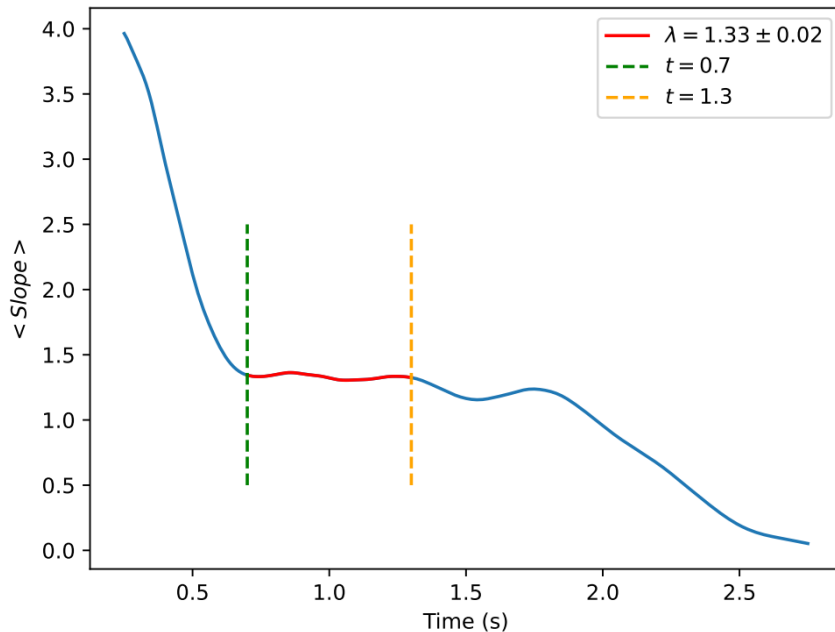


Nel mio caso non osservo alcun intervallo in cui è presente un plateau comune alle tre curve!

*Domanda*

*Mediando le 3 curve cosa succede?*

# Possibile soluzione (pt. 1)



## Osservazione

Se vogliamo ricavare una procedura per stimare  $\lambda_1$  a partire della regione *piuttosto piatta* risulta comodo richiedere una condizione quantitativa:

dato un intervallo  $I$  e definita  $\Delta \langle Slope \rangle$  come

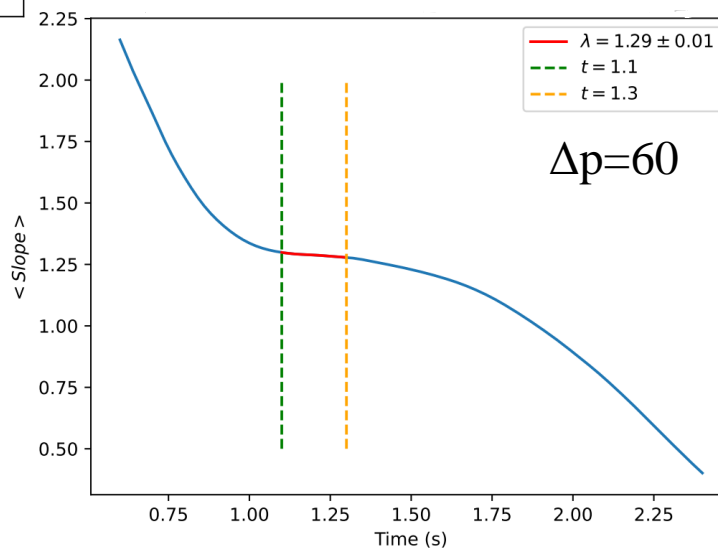
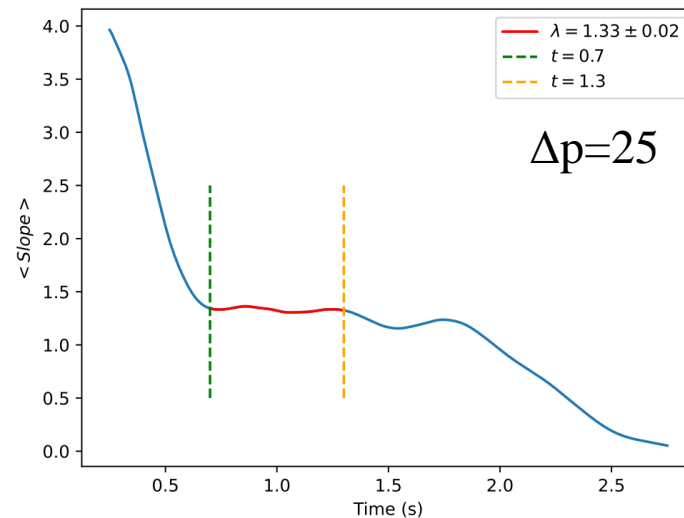
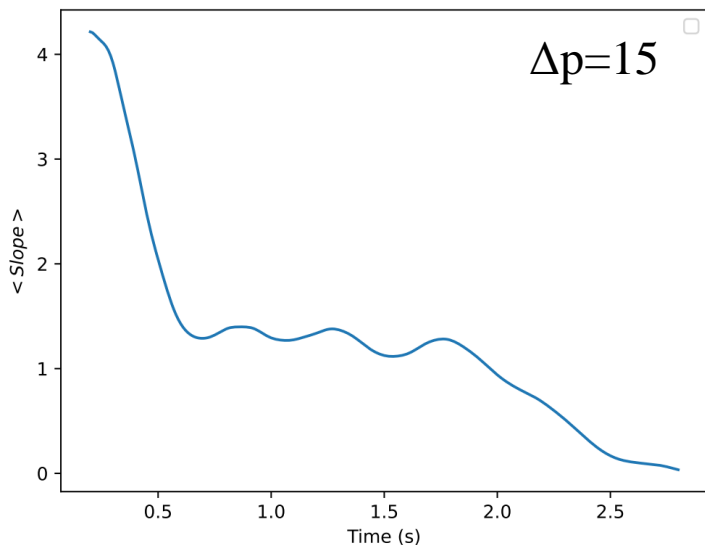
$$\Delta \langle Slope \rangle \equiv \max_I \langle Slope \rangle - \min_I \langle Slope \rangle,$$

Si richiede che  $\frac{\Delta \langle Slope \rangle}{\text{media}_I \langle Slope \rangle} \% < 5\%$ .

Una volta selezionato un opportuno intervallo  $I_C$ ,  $\lambda_1$  e l'incertezza associata  $\Delta \lambda_1$  vengono stabilite facendo la media campione e deviazione standard di  $\langle Slope \rangle$  su  $I_C$ .

# Possibile soluzione (pt. 2)

La presenza di un  $I_C$  dipende dal valore di  $\Delta p$ .



➔ Se  $\Delta p$  troppo grande tendiamo a sottostimare  $\lambda_1$  e si reduce  $I_C$ .

# Stima di $\lambda_1$ al variare di $m$

$N=5000$ ;  $\Delta t = 0.01$  s;  $J=11$ ;  $L = 3$  s;

$m$	$\lambda_1 \pm \Delta\lambda_1$	$len(I_c)$
3	$1.33 \pm 0.02$	0.5 s
5	$1.30 \pm 0.02$	0.6 s
7	$1.31 \pm 0.02$	0.35 s
9	×	×

# Stima di $\lambda_1$ al variare di J

$N=5000$ ;  $\Delta t = 0.01$  s;  $m=3$ ;  $L = 3$  s;

J	$\lambda_1 \pm \Delta\lambda_1$	$len(I_c)$
1	×	×
11	$1.33 \pm 0.02$	0.5 s
21	$1.21 \pm 0.01$	0.5 s
31	$1.18 \pm 0.01$	0.35 s
41	×	×

## *Commenti sull'approccio alternativo:*

- consente di tener conto della variabilità dei dati.
- Fornisce una stima di  $\lambda_1$  con un'incertezza associata.
- Le condizioni su  $I_C$  e la scelta di  $\Delta p$  sono opinabili.
- Richiede più tempo.
- Non sempre riesce a fornire una stima di  $\lambda_1$ .



# Bibliografia (pt. 1)



[1] A practical method for calculating largest Lyapunov exponent from small data sets.

Michael T. Rosenstein, James J. Collins and Carlo J. De Luca, 1993



[2] Fundamental limitations for estimating dimensions and Lyapunov exponents in dynamical systems.

J.-P. Eckmann and D. Ruelle, 1992



[3] At least one Lyapunov exponent vanishes if the trajectory of an attractor does not contain a fixed point

H. Haken, 1983



[4] Ergodic theory of chaos and strange attractors.

J.-P. Eckmann and D. Ruelle, 1985

# Bibliografia (pt. 2)



[5] Characterization of Strange Attractors.

P. Grassberger and I. Procaccia, 1982



[6] Calculating the dimension of attractor from small data sets.

N.B. Abraham, A.M. Albano, B. Das, G. De Guzman, S. Yong,  
R.S. Gioggia, G.P. Puccioni and J.R. Tredicce , 1986



[7] Nonlinear Time Series Analysis, 2<sup>nd</sup> edition.

H. Kantz and T. Schreiber, 2004



[8] Nonlinear Dynamics and Chaos, 2<sup>nd</sup> edition.

S. Strogatz, 2014